论著・临床研究

# 二甲双胍诱导人胎盘绒毛癌细胞系 JAR 凋亡的机制初探

柳光芬1,姚春艳2

(1. 武警重庆市消防总队医院检验科,重庆 401120;

2. 中国人民解放军陆军军医大学西南医院检验科,重庆 400038)

摘 要:目的 探索二甲双胍诱导人胎盘绒毛癌细胞系 JAR 凋亡的作用机制。方法 将 JAR 细胞分为对照组和二甲双胍处理组(终浓度 5、10、20、40、80 mmol/L)处理 24 h 后选取合适的药物浓度。激光共聚焦显微镜检测细胞凋亡,分别采用实时荧光定量聚合酶链反应(Real-time PCR)和免疫蛋白印记(Western blot)检测凋亡相关基因 AMPK,p-AMPK,mTOR,Caspase-3,Bcl-2和 Bax 的变化趋势。结果 40 mmol/L 的二甲双胍处理能够引发 JAR 细胞凋亡,并且激活 AMPK 的磷酸化并下调 mTOR 的蛋白水平;同时上调 Caspase-3和Bax 的 mRNA 及蛋白水平,并且下调 Bcl-2的 mRNA 和蛋白表达,降低 Bcl-2和 Bax 的蛋白水平比例。结论二甲双胍可能是通过 AMPK/mTOR和 Caspase-3及 Bcl-2/Bax 两个通路的共同作用诱导 JAR 细胞发生凋亡。

关键词:人绒毛膜癌细胞; 二甲双胍; 细胞凋亡; AMPK/mTOR

**DOI:** 10. 3969/j. issn. 1673-4130. 2018. 07. 027

中图法分类号:R329.2

文章编号:1673-4130(2018)07-0859-04

文献标识码:A

## The mechanism of metformin induced human choriocarcinoma cell line JAR apoptosis

LIU Guang fen<sup>1</sup>, YAO Chunyan<sup>2</sup>

(1. Department of Clincal Laboratory, Chongqing Municipal Fire Corps Hospital, Chongqing 401120, China; 2. Department of Clincal Laboratory, Southwest Hospital, the Third Military Medical University, Chongqing 400038, China)

Abstract: Objective To investigate the possible mechanism of metformin on apoptosis of human choriocarcinoma cell. Methods The human choriocarcinoma cell line JAR was selected and divided into control and metformin groups (final concentrations were 5,10,20,40 and 80 mmol/L). Confocal microscope was adopted to detect cell apoptosis after 48 h treatment. The mRNA and protein expression of AMPK, p-AMPK, mTOR, Caspase-3, Bcl-2 and Bax were measured by Real-time PCR and Western blot respectively. Results Compared with the control group, apoptosis rate of JAR cells in the metformin group (final concentration was 40 mmol/L) was remarkably increased. Metformin activated AMPK by phosphorylation and inhibited mTOR protein expression, meanwhile mRNA and protein expression levels of Caspase-3 and Bax were significantly increased, but Bcl-2 mRNA and protein expression were significantly decreased. Conclusion Metformin induces the JAR cells to generate apoptosis by the AMPK/mTOR pathways and Caspase-3, Bcl-2/Bax pathways simaltaneously.

Key words: human choriocarcinoma cell line; metformin; cell apoptosis; AMPK/mTOR

人胎盘绒毛癌简称绒癌,是发生于胎盘外层绒毛膜上皮细胞的一种高度恶性的妇科肿瘤。二甲双胍是一种常用的口服降糖药,常用于2型糖尿病和妊娠期糖尿病的血糖控制<sup>[1]</sup>。有临床研究表明,二甲双胍可以抑制多种肿瘤的生长,是潜在治疗肿瘤的新型药物<sup>[2-3]</sup>。使用二甲双胍为降糖药治疗糖尿病的妇女,其患肿瘤的概率要低于其他妇女。目前,二甲双胍抑制绒癌细胞生长的机制还处于初步探索阶段<sup>[4]</sup>。因

此,本研究拟初步探讨二甲双胍对绒癌细胞系 JAR 凋亡信号通路的作用方式和机制,探寻肿瘤治疗的新靶标和新药物。

### 1 材料和方法

1.1 试剂材料 人胎盘绒毛癌细胞系 JAR 购置于中国科学院细胞库。胎牛血清 FBS(以色列 BI 公司); RPMI-1640 培养基(美国 Gibco 公司); 细胞活性和增殖检测试剂盒 CCK-8(美国 AT-gene 公司); 末端

作者简介:柳光芬,女,主任医师,主要从事临床检验方向的研究。

脱氧核苷酰基转移酶介导性 dUTP 切口末端标记试剂盒(TUNEL)(碧云天公司);腺苷酸活化蛋白激酶(AMPK),雷帕霉素靶蛋白(mTOR),半胱天冬酶-3(Caspase-3)、β-肌动蛋白(β-actin)、B细胞淋巴瘤基因2(Bcl-2)和凋亡调节蛋白(Bax)抗体(美国 Abcam公司)。

- 1.2 细胞培养 JAR 细胞使用含 10% 胎牛血清 (FBS)和 100 U/mL 青链霉素的 RPMI-1640 培养基培养。细胞接种于 T25 细胞培养瓶中,放置于 5%二氧化碳浓度的饱和湿度培养箱,待细胞密度为 80%左右时进行传代。
- 1.3 药物最佳处理浓度筛选 选用生长旺盛的 JAR 细胞消化重悬后计数,将密度调整为  $10^4$  个/mL。将细胞接种于 96 孔板中,每孔加入 200  $\mu$ L 细胞悬液,拍打混匀后放入培养箱中继续培养 12 h。根据前期预实验结果将 5、10、20、40、80 mmol/L 的二甲双胍溶液分别加入 96 孔板中,以未处理组为对照,每组设立 6 个复孔。二甲双胍处理 24 h 以后换液并加入 CCK-8 检测试剂 37  $\mathbb C$  孵育 1 h,使用酶标仪测定各孔的吸

- 1.4 TUNEL 检测 取对数期 JAR 细胞,  $2 \times 10^4$  个/孔接种于放有细胞爬片的 24 孔板中,按照前面实验确定的  $IC_{50}$  浓度处理 24 h。按照 TUNEL 试剂盒说明书进行染色,封片后使用激光共聚焦显微镜照相,每组选取 8 个视野统计阳性细胞率。阳性细胞率三阳性细胞总数/细胞总数 $\times 100\%$ 。
- 1.5 Real-time PCR 二甲双胍处理细胞 24 h f. 系用离心柱法提取各组细胞 RNA,吸光度法测定浓度后使用逆转录试剂盒合成 cDNA 备用。采用 Sybergreen 法检测 Caspase-3、Bcl-2 和 Bax 的 mRNA 表达水平,并以 GAPDH 为内参。将对照组 mRNA 的表达量设为 1,根据  $2^{-\Delta \Delta Ct}$  计算实验组 mRNA 量的变化。定量 PCR 的引物见表 1。

基因	上/下游	引物序列	产物长度(bp)
Caspase-3	上游引物	5'-TGC TAT TGT GAG GCG GTT GT-3'	130
	下游引物	5'-GCA GGG CTC GCT AAC TCC-3'	
Bel-2	上游引物	5'-CAT GTG TGG AGA GCG TCA A-3'	81
	下游引物	5'-GCC GGT TCA GGT ACT CAG TCA-3'	
Bax	上游引物	5'- CCC AGA GGC GGG GTT TCA-3'	164
	下游引物	5'- CAT CCT CTG CAG CTC CAT GT-3'	
GAPDH	上游引物	5'- CAG GAG GCA TTG CTG ATG AT-3'	138
	下游引物	5'- GAA GGC TGG GGC TCA TTT-3'	

表 1 Real-time PCR 各基因的引物序列

- 1.6 Western blot BCA 试剂盒对总蛋白定量,每 孔蛋白上样量为 40 µg, SDS 电泳后转膜, AMPK、p-AMPK、mTOR、Caspase-3、Bcl-2、Bax 浓度均为 1: 1 000, GAPDH 浓度为 1:2 000。一抗 4 ℃过夜后二 抗 (1:5 000) 室温 1 h 后 化学发光法显色, 使用 Quantity One 软件分析各条带的灰度值。
- 1.7 统计学处理 采用 SPSS13.0 统计软件分析数据,符合正态分布的计量资料以 $x\pm s$ 表示,多组间比较采用单因素方差分析,进一步两两比较采用 SNK-q检验。计数资料以百分率(%)表示,组间比较用  $\chi^2$ 分析。以 P<0.05表示差异有统计学意义。

#### 2 结 果

2.1 人胎盘绒毛癌细胞 JAR 最佳抑制浓度 使用 5、10、20、40 和 80 mmol/L 的二甲双胍溶液处理 JAR 细胞 24 h, CCK-8 法检测细胞抑制率发现,各浓度二

甲双胍对 JAR 细胞均有一定程度的抑制作用,5 mmol/L时抑制率最低,80 mmol/L 时抑制率最高且表现为剂量依耐效应(图 1)。当二甲双胍浓度为40 mmol/L时细胞细胞抑制率为(53.8±8.2)%,最接近50%,故在后续实验中选取40 mmol/L 为处理浓度。

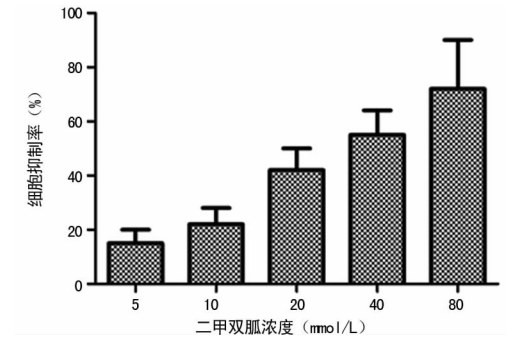
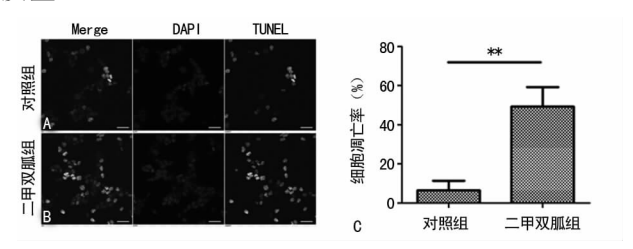


图 1 不同浓度二甲双胍对 JAR 细胞的抑制率

2.2 二甲双胍诱导 JAR 细胞发生凋亡 根据前期最佳药物浓度筛选结果,使用 40 mmol/L 的二甲双胍溶液处理 JAR 细胞 24 h。 TUNEL 染色结果显示(图 2),二甲双胍处理可以诱使 JAR 细胞发生凋亡,其凋亡率为( $49.2\pm10.8$ )%,而未处理组的凋亡率为( $6.4\pm5.2$ )%,两组差异具有统计学意义(P<0.01)。结果表明,二甲双胍可以促进 JAR 细胞晚期凋亡的发生。

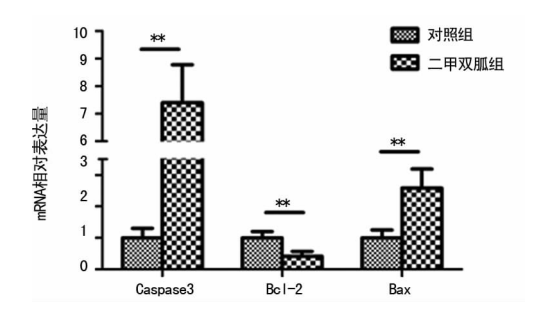


注:A 为对照组正常 JAR 细胞;B 为二甲双胍处理后的 JAR 细胞; C 为两组细胞凋亡率统计结果;与对照组比较,\*\*P<0.01

图 2 TUNEL 法检测二甲双胍对 JAR 细胞凋亡的影响

2.3 二甲双胍调控凋亡相关基因表达 二甲双胍作用 24 h后,使用荧光定量 PCR 检测细胞凋亡相关基因的 mRNA 变化水平发现(图 3),促凋亡基因 Caspase-3 和 Bax 相对于对照组细胞表达增加,抗凋亡基因 Bcl-2 表达降低。二甲双胍处理组和对照组的

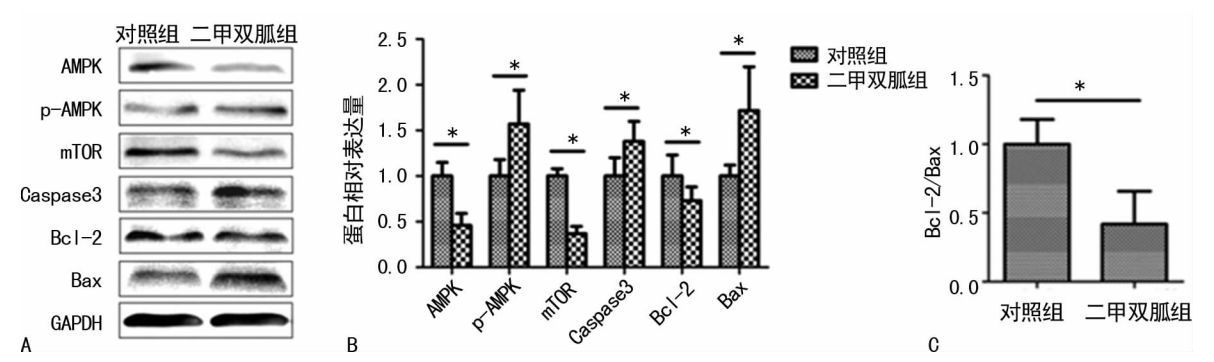
mRNA 相对表达量比较,差异有统计学意义(P< 0.01)。



注:与对照组比较,\*\*P<0.01

图 3 二甲双胍对凋亡相关基因 mRNA 的调控

2.4 二甲双胍调控凋亡相关蛋白表达 二甲双胍处理可以增强 p-AMPK,降低 AMPK 和 mTOR 的表达,提示其通过激活 AMPK 的磷酸化水平进而抑制mTOR 的蛋白表达(图 4);检测细胞凋亡相关基因的蛋白表达水平发现,二甲双胍可以降低抗凋亡因子Bcl-2 的蛋白水平,同时上调 Bax 和 Caspase-3 蛋白表达。通过分析蛋白条带的灰度值计算 Bcl-2/Bax 比值,发现 Bcl-2/Bax 比值下调。提示其可能是引发JAR 细胞凋亡的潜在因素。



注: A 为 Western blot 图; B 为 AMPK、p-AMPK、Caspase-3、Bcl-2 和 Bax 的蛋白半定量分析结果; C 为 Bcl-2 和 Bax 蛋白相对表达量比; 与对照组比较,\* P<0.05

图 4 二甲双胍对凋亡相关蛋白的调控

#### 3 讨 论

作为临床上常用的降糖药,二甲双胍疗效确切、不良反应小。近年来随着临床应用多样性研究的不断深入,发现其可以抑制多种肿瘤细胞的生长,是潜在的肿瘤治疗药物<sup>[5-7]</sup>。KO等<sup>[8]</sup>对363例糖尿病合并子宫内膜癌患者进行的回顾性研究发现,服用二甲双胍患者的病死率比未使用二甲双胍治疗的患者低。有研究表明,二甲双胍对卵巢癌、宫颈癌和子宫内膜癌等常见妇科肿瘤细胞有非常显著的抑制作用<sup>[9-10]</sup>。

目前的研究表明二甲双胍主要通过以下两种方式抑制肿瘤:(1)调控 Caspase-3、Bcl-2 及 Bax 等凋亡相关蛋白的表达,从而促使肿瘤细胞凋亡[11-12];(2)激

活 AMPK/mTOR 通路,減少 ATP 合成,影响能量代谢和蛋白翻译,或者下调细胞周期蛋白 D1 从而将肿瘤细胞阻滞于  $G_0/G_1$  期抑制其生长 $[^{13}]$ 。

mTOR 是一种保守的丝/苏氨酸蛋白激酶,其在细胞的增殖、生长、凋亡和血管生成过程中发挥着重要作用。AMPK 通过磷酸化激活后可以对 mTOR 起负调控,从而引起 mTOR 下游如翻译起始因子 4E 结合蛋白(4E-BPs)和核糖体 S6 激酶(S6Ks)等翻译过程相关分子失活,进而抑制肿瘤细胞蛋白的合成;同时 mTOR 也能够抑制在大多数肿瘤细胞中都过度激活的 PI3K-PKB/Akt 信号通路,最终抑制肿瘤细胞的生长和增殖[14-15]。

细胞凋亡是一个动态平衡的过程,其受到促凋亡蛋白和抗凋亡蛋白的共同作用。Bcl-2和Bax是Bcl-2家族的重要成员,当促凋亡蛋白如Bax表达上升或者抗凋亡Bcl-2的降低时,细胞开启凋亡进程。Bcl-2和Bax的动态平衡是调节细胞凋亡的重要指标,通常使用二者的比值来衡量细胞的凋亡水平变化[16-18]。Caspase-3是线粒体介导的细胞凋亡通路中的关键蛋白,其功能是促进细胞增殖并抑制细胞发生凋亡。本研究发现,使用二甲双胍处理绒癌细胞JAR后Caspase-3、Bax蛋白表达增加而Bcl-2蛋白表达下降,Bcl-2/Bax比值下降,其比例下调后可以破坏线粒体外膜完整性,阻碍细胞色素C的释放,从而激活凋亡途径最终效应因子Caspase-3。Caspase-3激活后可降解DNA损伤修复酶,同时激活核酸内切酶,引起细胞凋亡[19]。

综上所述,本研究证实二甲双胍可以诱导人绒毛膜癌细胞系 JAR 发生凋亡,其可能是通过激活AMPK抑制 mTOR下游等和蛋白翻译,细胞增殖的关键分子;开启 Caspase-3、Bcl-2/Bax 等引发线粒体凋亡的重要分子的共同作用来实现的。此结果有望为进一步临床治疗绒癌提供新的治疗思路与治疗方法。

#### 参考文献

- [1] 刘兴会,陈鹏.口服降糖药物在妊娠期糖尿病中的应用[J].中国实用妇科与产科杂志,2013,29(4):252-255.
- [2] KATO K, GONG J, IWAMA H, et al. The antidiabetic drug metformin inhibits gastric cancer cell proliferation in vitro and in vivo [J]. Mol Cancer Ther, 2012, 11 (3): 549-560.
- [3] KASZNICKI J, SLIWINSKA A, DRZEWOSKI J. Metformin in cancer prevention and therapy[J]. Ann Transl Med, 2014, 2(6):57.
- [4] 柳光芬. 二甲双胍对人绒毛膜癌细胞凋亡的影响[J]. 国际检验医学杂志,2016,37(23):3280-3282.
- [5] ZHANG P, LI H, TAN X, et al. Association of metformin use with cancer incidence and mortality: a meta-analysis [J]. Cancer Epidemiol, 2013, 37(3): 207-218.
- [6] EVANS J M, DONNELLY L A, EMSLIE-SMITH A M, et al. Metformin and reduced risk of cancer in diabetic patients [7], BMJ, 2005, 330 (753): 1304-1305.
- [7] RIZOS C V, ELISAF M S. Metformin and cancer [J]. Eur

- J Pharmacol, 2013, 705(1-3): 96-108
- [8] KO E M, WALTER P, JACKSON A, et al. Metformin is associated with improved survival in endometrial cancer [J]. Gynecol Oncol, 2014, 132(2): 438-442.
- [9] 孙莉,谭文华,刘巍.二甲双胍与妇科肿瘤关系的研究现 状[J].中国医师进修杂志,2017,40(2):187-190.
- [10] PATEL S, SINGH N, KUMAR L. Evaluation of effects of metformin in primary ovarian cancer cells [J]. Asian Pac J Cancer Prev, 2015, 16(16):6973-6979.
- [11] 庞若宇,关美萍,郑宗基,等.二甲双胍对糖基化终末产物诱导的成纤维细胞凋亡及相关蛋白 caspase-3、Bax 及Bcl-2 表达的影响[J]. 南方医科大学学报,2015,35(6):898-902.
- [12] BESBES S, MIRSHAHI M, POCARD M, et al. New dimension in therapeutic targeting of BCL-2 family proteins
  [J]. Oncotarget, 2015, 6(15): 12862-12871.
- [13] FOSTER S S, DE S, JOHNSON L K, et al. Cell cycle and DNA repair pathway-specific effects of apoptosis on tumor suppression[J]. Proc Natl Acad Sci U S A, 2012, 109(25):9953-9958,
- [14] HAN G,GONG H J, WANG Y D, et al. AMPK/mTOR-mediated inhibition of survivin partly contributes to metformin-induced apoptosis in human gastric cancer cell[J]. Cancer Biol Ther, 2015, 16(1):77-87.
- [15] DOWLING R J, GOODWIN P J, STAMBOLIC V. Understanding the benefit of metformin use in cancer treatment[J], BMC Med, 2011, 9(1):1-6.
- [16] XIE Z,KOYAMA T,SUZUKI J,et al. Coronary reperfusion following ischemia; different expression of bcl-2 and bax proteins, and cardiomyocyte apoptosis[J]. Jpn Heart J,2001,42(6):759-770.
- [17] DELBRIDGE A R, GRABOW S, STRASSER A, et al. Thirty years of BCL-2: translating cell death discoveries into novel cancer therapies[J]. Nat Rev Cancer, 2016, 16 (2):99-109.
- [18] HENNESSY E J. Selective inhibitors of Bcl-2 and Bcl-xL: Balancing antitumor activity with on-target toxicity [J]. Bioorg Med Chem Lett, 2016, 26(9):2105-2114.
- [19] TAKAHASHI A, KIMURA F, YAMANAKA A, et al. Metformin impairs growth of endometrial cancer cells via cell cycle arrest and concomitant autophagy and apoptosis [J]. Cancer Cell Int, 2014, 14(1):53.

(收稿日期:2017-09-21 修回日期:2017-11-11)